

Рис. 3

ряет, из (5.3), (5.4) находим

$$(5.5) \quad \sigma \rightarrow 0 \text{ при } \gamma \rightarrow 3/2.$$

При малых значениях  $\gamma$  зависимость  $\sigma$  от  $\gamma$  близка к линейной

$$(5.6) \quad \sigma = A\gamma$$

( $A$  — положительная постоянная). Из (5.5), (5.6) следует, что в случае всестороннего расширения при  $\chi_1 = 0$ ,  $T = T_0$  график зависимости  $\sigma$  от  $\gamma$  имеет вид, указанный на рис. 3 сплошной кривой.

Очевидно, таким же он будет и в общем случае деформирования элемента среды при  $\chi_1 = 0$ ,  $T = T_0$ . Характерная его особенность — ограниченность среднего напряжения. Наличие функции  $\chi_1$  в (5.3) создает возможность изменения при помощи функции  $\chi_1$  зависимости  $\sigma$  от  $\gamma$  так, например, как указано на рис. 3 штриховой линией. В частности, это создает возможность описания при помощи функции  $\chi_1$  изменения по тем или иным причинам сопротивления элемента среды разрушению из-за ограниченности среднего напряжения.

Наличие функции  $\chi_2$  в (5.3) создает возможность описания при ее помощи влияния сдвиговых деформаций на изменение объема и среднего напряжения. Пусть деформирование происходит при  $\sigma = \gamma = 0$ . В этом случае, согласно (5.2), сдвиговые деформации приведут к изменению объема по формуле  $e = \frac{2(1 + \chi_2)}{1 - \chi_1} \gamma_{\alpha\beta} e^{\alpha\beta}$ . Пусть деформирование происходит без изменения объема. Тогда сдвиговые деформации приведут к изменению  $\gamma$  по формуле  $\frac{d\gamma}{dt} = -2(1 + \chi_2) \gamma_{\alpha\beta} e^{\alpha\beta}$  и, следовательно, к соответствующему изменению среднего напряжения. Наличие функции  $\chi_3$  в (5.3) создает возможность при ее помощи описывать изменения по тем или иным причинам модуля  $\mu$  упругого сдвига.

Приведенные примеры показывают, что имеются весьма широкие возможности описания разнообразных явлений путем введения в уравнения деформирования элемента среды недиссилиативных неупругих деформаций.

#### ЛИТЕРАТУРА

- Гольденблат И. И., Николаенко Н. А. Теория ползучести строительных материалов и ее приложения.— М.: Госстройиздат, 1960.
- Седов Л. И. Механика сплошной среды.— М.: Наука, 1970.— Т. 1—2.
- Зельдович Я. Б., Райзер Ю. П. Физика ударных волн и высокотемпературных гидродинамических явлений.— М.: Наука, 1966.

Поступила 19/V 1986 г.

УДК 534.1

#### ПРЯМОЙ МЕТОД ОПРЕДЕЛЕНИЯ ДИНАМИЧЕСКИХ РЕАКЦИЙ ВЗАИМОДЕЙСТВИЯ ЭЛЕМЕНТОВ КОНСТРУКЦИЙ С СОСРЕДОТОЧЕННЫМИ МАССАМИ И ЖЕСТКОСТЯМИ

*A. B. Агафонов*  
(Ленинград)

При расчете элементов конструкций (стержней, пластин и т. п.) на сосредоточенные воздействия во многих случаях важно знать лишь напряженное и деформированное состояние рассматриваемого элемента непосредственно в месте приложения нагрузки, а элемент в целом (или вся конструкция) представляет интерес лишь в смысле его интегральной реакции на воздействие.

Если сосредоточенное воздействие задано, то нахождение такой интегральной реакции, как правило, затруднений не вызывает. В тех же случаях, когда воздействие зависит от движения самого элемента конструкции, отыскание интегральной реакции

связано с необходимостью сопрягать изменение нагрузки и движение конструкции.

Для решения таких задач основным является метод динамических податливостей [1, 2]. В соответствии с ним построение решения производится в два этапа [1]:

- находятся по отдельности динамические податливости элемента и действующей на него массы (жесткости) под действием внезапно приложенной сосредоточенной силы;

- отыскивается реакция взаимодействия элемента с массой (жесткостью) из интегрально-дифференциального уравнения, выражающего условие равенства перемещений элемента и массы в точке взаимодействия.

В то же время имеется возможность разработки метода, который позволяет определять интересующие параметры в месте взаимодействия, минуя предварительное нахождение динамических податливостей, и тем самым сократить путь решения задачи. Такой метод можно предположить на основе интегральных преобразований и аппарата  $\delta$ -функции.

Рассмотрим общую схему предлагаемого метода на примере одномерной задачи. Пусть поведение некоторой системы при наличии сосредоточенных масс или жесткостей описывается уравнением

$$(1) \quad L_{xt}^0(w) + L_t^1(w) \delta(x) = P(x, t),$$

где  $w$  — искомая функция (перемещение);  $L_{xt}^0(\dots)$  — линейный оператор, описывающий поведение системы;  $L_t^1(\dots)$  — линейный оператор, описывающий взаимодействие системы с сосредоточенной массой (жесткостью);  $P(x, t)$  — внешняя нагрузка;  $x$  — пространственная координата;  $t$  — время.

Пусть, далее, внешняя нагрузка и граничные условия таковы, что возможно применение преобразования Лапласа по времени и какого-то интегрального преобразования (Фурье, Ханкеля и т. д.) по координате. Тогда, применяя интегральные преобразования, на плоскости изображений имеем

$$(2) \quad L_0(p, v)w_{pv} + L_1(v)w_v|_{x=0} = P_1(p, v).$$

Здесь  $w_{pv}$  — изображение  $w$ ;  $L_0(p, v)$  — полином, определяемый оператором  $L_{xt}^0$ ;  $L_1(v)$  — полином, определяемый оператором  $L_t^1$ ;  $P_1(p, v)$  — функция, определяемая нагрузкой, граничными и начальными условиями;  $v$  — параметр преобразования Лапласа;  $p$  — параметр преобразования по координате.

Из равенства (2) для  $w_{pv}$  получим

$$(3) \quad w_{pv} = \frac{P_1(p, v)}{L_0(p, v)} - L_1(v) w_v \Big|_{x=0} \frac{1}{L_0(p, v)}.$$

Так как нас интересует только  $w|_{x=0}$ , то необходимо знать обращения выражений  $P_1(p, v)/L_0(p, v)$  и  $1/L_0(p, v)$  не для всех значений  $x$ , а лишь для  $x = 0$ , что упрощает решение. Пусть  $\varphi(v)$  есть обращение выражения  $P_1(p, v)/L_0(p, v)$ , а  $\psi(v)$  — выражения  $1/L_0(p, v)$  при  $x = 0$ . Тогда из (2)

$$(4) \quad w_v|_{x=0} = \varphi(v)/[1 + L_1(v)\psi(v)].$$

Обращение изображения (4) может быть выполнено либо с помощью таблиц соответствия оригиналов и изображений, либо с помощью численных методов обращения преобразования Лапласа.

Отметим, что предлагаемый метод содержит элементы метода динамических податливостей, однако переход к окончательному выражению на плоскости изображений позволяет сократить процесс получения решения.

Рассмотрим примеры применения указанного метода к решению конкретных задач.

1. *Удар массы по полубесконечной струне.* Пусть по полубесконечной струне, один конец которой оперт, на расстоянии  $l$  от опертого конца ударяет масса  $M_0$  со скоростью  $v_0$ . В безразмерных координатах

$$(5) \quad \xi = x/l, \tau = \sqrt{T/m} \cdot (t/l)$$

движение системы струна — масса описывается (вплоть до отскока массы) следующей краевой задачей:

$$(6) \quad \frac{\partial^2 w}{\partial \xi^2} - \frac{\partial^2 w}{\partial \tau^2} - M \frac{\partial^2 w}{\partial \tau^2} \delta(\xi - 1) = 0;$$

$$(7) \quad \text{при } \tau = 0 \quad w = 0, \quad \frac{\partial w}{\partial \tau} = \begin{cases} 0 & \text{при } \xi \neq 1, \\ vl & \text{при } \xi = 1; \end{cases}$$

$$(8) \quad \text{при } \xi = 0 \quad w = 0, \quad \text{при } \xi = \infty \quad w = 0.$$

Здесь  $M = M_0/ml$ ;  $v = v_0/\sqrt{T/m}$ ;  $\delta(\dots)\delta$  — функция;  $m$  — погонная масса струны;  $T$  — натяжение струны;  $w$  — прогиб.

Применяя к (6) преобразование Лапласа по  $\tau$  и синус-преобразование Фурье по  $\xi$ , на плоскости изображений получим уравнение

$$(9) \quad (p^2 + v^2) w_{pv} + \sqrt{\frac{2}{\pi}} M v^2 w_v \Big|_{\xi=1} \sin p = \sqrt{\frac{2}{\pi}} M v l \sin p,$$

где  $w_{pv}$  — изображение прогиба по Лапласу и Фурье ( $w_v$  только по Лапласу);  $p$  — параметр преобразования Фурье;  $v$  — параметр преобразования Лапласа.

Разрешая (9) относительно  $w_{pv}$  и обращая по Фурье, имеем

$$(10) \quad w_v = M [vl - v^2 w_v]_{\xi=1} \frac{2}{\pi} \int_0^\infty \frac{\sin p \cdot \sin \tilde{p}\xi}{p^2 + v^2} dp.$$

При  $\xi = 1$  (точка соударения) входящий в (10) интеграл равен [3]

$$I = \int_0^\infty \frac{\sin^2 p}{p^2 + v^2} = \frac{\pi}{4v} (1 - e^{-2v}).$$

С учетом последнего равенства из (10) запишем

$$(11) \quad w_v|_{\xi=1} = \frac{M}{2} vl \frac{1}{v} \frac{1 - e^{-2v}}{1 + \frac{M}{2} v (1 - e^{-2v})}.$$

Раскладывая дробь в правой части (11) в ряд по степеням  $e^{-2v}$ , находим

$$w_v|_{\xi=1} = \frac{M}{2} vl \frac{1}{v \left[ 1 + \frac{M}{2} v \right]} \left\{ 1 - \frac{e^{-2v}}{1 + \frac{M}{2} v} \sum_{n=0}^{\infty} \left[ \frac{\frac{M}{2} v e^{-2v}}{1 + \frac{M}{2} v} \right]^n \right\}.$$

Множители  $e^{-2nv}$ , как обычно, учитывают последовательные отражения волн от опоры и массы.

Обращая последнее выражение с помощью табличных соответствий между изображением и оригиналом (см., например, [4]), для прогиба струны в точке удара (при  $\tau < 6$ ) получим

$$(12) \quad w|_{\xi=1} = \frac{M}{2} vl \left\{ \left[ 1 - e^{-\frac{2\tau}{M}} \right] \sigma_0(\tau) - \left[ 1 - \left( 1 + \frac{2[\tau-2]}{M} \right) e^{-\frac{2(\tau-2)}{M}} \right] \sigma_0(\tau-2) - \left[ \frac{2(\tau-4)}{M} \right]^2 e^{-\frac{2(\tau-4)}{M}} \sigma_0(\tau-4) \dots \right\}.$$

Найденное решение справедливо вплоть до момента отскока массы от струны. Так как отскок происходит тогда, когда при обратном движении скорость струны в точке  $\xi = 1$  достигает максимального значения, то момент отскока может быть определен из равенства  $d^2w/d\tau^2|_{\xi=1} = 0$ .

Кривые изменения во времени безразмерного прогиба  $w' = 2w/(Mvl)$  для различных значений  $M$  представлены на рис. 1, где 1—3 для  $M = 4$ ; 8; 16, 1'—3' для бесконечной струны.

2. Удар массы по балке конечной длины. Пусть по середине свободно опертой балки длиной  $2l$  со скоростью  $v_0$  ударяет масса  $M_0$ . Тогда в безразмерных координатах

$$(13) \quad \xi = x/l, \quad \tau = \sqrt{\frac{D}{m}} / l^2$$

движение балки с массой после соударения описывается следующей краевой задачей:

$$(14) \quad \frac{\partial^4 w}{\partial \xi^4} + \frac{\partial^2 w}{\partial \tau^2} + M \frac{\partial^2 w}{\partial \tau^2} \delta(\xi - 1) = 0,$$

при  $\xi = 0; 2 w = \frac{\partial^2 w}{\partial \xi^2} = 0$ ,

при  $\tau = 0 w = 0, \frac{\partial w}{\partial \tau} = \begin{cases} 0 & \text{при } \xi \neq 1, \\ v_l & \text{при } \xi = 1. \end{cases}$

В (13), (14)  $M = M_0/ml; v = v_0/\sqrt{D/ml^2}; m$  — погонная масса балки;  $D$  — изгибная жесткость.

Для построения решения используем преобразование Лапласа по  $\tau$  и конечное синус-преобразование Фурье по  $\xi$ . Так как решение должно быть симметрично относительно  $\xi = 1$ , то в решении синусы только с нечетным номером аргумента. Поступая таким образом, для изображения  $w_{v(2k-1)} =$   
 $= \int_0^2 w_v \sin \frac{(2k-1)\pi\xi}{2} d\xi$  получим равенство  $w_{v(2k-1)} \left[ \left( \frac{2k-1}{2} \right)^4 \pi^4 + v^2 \right] + (-1)^{k-1} \times$   
 $\times M v^2 w_v |_{\xi=1} = (-1)^{k-1} M v l$ , откуда  $w_{v(2k-1)} = \frac{(-1)^{k-1} M (v l - v^2 w_v |_{\xi=1})}{\left( \frac{2k-1}{2} \right)^4 \pi^4 + v^2}$ .

Обращая последнее выражение по Фурье и разрешая полученное равенство относительно  $w_v |_{\xi=1}$ , имеем

$$(15) \quad w_v |_{\xi=1} = \frac{M v l \left( \frac{2}{\pi} \right)^4 \sum_{k=1}^{\infty} \frac{1}{(2k-1)^4 + (2\sqrt{v}/\pi)^4}}{1 + M v^2 \left( \frac{2}{\pi} \right)^4 \sum_{k=1}^{\infty} \frac{1}{(2k-1)^4 + (2\sqrt{v}/\pi)^4}}.$$

Значение входящей в (15) суммы равно [3]

$$S = \left( \frac{2}{\pi} \right)^4 \sum_{k=1}^{\infty} \frac{1}{(2k-1)^4 + (2\sqrt{v}/\pi)^4} = \frac{1}{2v\sqrt{v}} \left[ \frac{\operatorname{sh}(2\sqrt{2v}) + \sin(2\sqrt{2v})}{\operatorname{ch}(2\sqrt{2v}) - \cos(2\sqrt{2v})} - \right. \\ \left. - \frac{1}{2} \frac{\operatorname{sh}(\sqrt{2v}) + \sin(\sqrt{2v})}{\operatorname{ch}(\sqrt{2v}) - \cos(\sqrt{2v})} \right].$$

Ввиду сложности выражения для  $S$  изображение (15) можно обращать только численно. В то же время структура выражения для  $S$  допускает построение асимптотического аналитического решения, справедливого для ограниченных моментов времени. Разлагая (по аналогии со струнной)  $S$  в ряд по степеням  $e^{-\tau\sqrt{2v}}$  и удерживая слагаемые с множителем  $e^{-2\sqrt{2v}}$  включительно, находим

$$S \approx \frac{1}{2\sqrt{2}v\sqrt{v}} [1 - e^{-\sqrt{2v}} (\sin \sqrt{2v} + \cos \sqrt{2v})]$$

(слагаемые с множителем  $e^{-2\sqrt{2v}}$  взаимно уничтожаются).

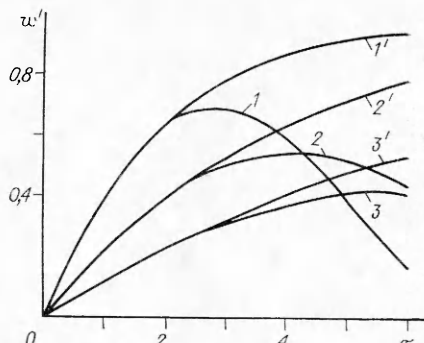


Рис. 4

Подставляя последнее выражение в (15) и снова разлагая правую часть в ряд по степеням  $e^{-k\sqrt{2}v}$  (с точностью до  $e^{-2\sqrt{2}v}$ ), получим

$$(16) \quad w_v|_{\xi=1} = \frac{\frac{Mvl}{2\sqrt{2}v}\sqrt{v}}{1 + \frac{M}{2\sqrt{2}}\sqrt{v}} \left[ 1 - \frac{1}{1 - \frac{M}{2\sqrt{2}}\sqrt{v}} e^{-\sqrt{2}v} [\sin \sqrt{2}v + \cos \sqrt{2}v] - \right. \\ \left. - \frac{\frac{M}{2\sqrt{2}}\sqrt{v}}{1 + \frac{M}{2\sqrt{2}}\sqrt{v}} e^{-2\sqrt{2}v} [1 + \sin(2\sqrt{2}v)] \right].$$

Для обращения (16) воспользуемся операцией свертки и табличными соотношениями [4]

$$\begin{aligned} \frac{e^{-\sqrt{\alpha}v}}{\sqrt{v}} &\stackrel{\text{def}}{\rightarrow} \frac{1}{\sqrt{\pi\tau}} \exp\left(-\frac{\alpha}{4\tau}\right) \\ \frac{e^{-\sqrt{\alpha}v} \cos \sqrt{\alpha}v}{\sqrt{v}} &\stackrel{\text{def}}{\rightarrow} \frac{1}{\sqrt{\pi\tau}} \cos\left(\frac{\alpha}{2\tau}\right), \\ \frac{e^{-\sqrt{\alpha}v} \sin \sqrt{\alpha}v}{\sqrt{v}} &\stackrel{\text{def}}{\rightarrow} \frac{1}{\sqrt{\pi\tau}} \sin\left(\frac{\alpha}{2\tau}\right) \end{aligned}$$

а также соотношением, следующим из теоремы Эфроса [2, 5]:

$$\frac{F(\sqrt{v})}{\sqrt{v}} \stackrel{\text{def}}{\rightarrow} \frac{1}{\sqrt{\pi t}} \int_0^\infty \exp\left(-\frac{\tau^2}{4t}\right) f(\tau) d\tau,$$

где  $F(v) \stackrel{\text{def}}{\rightarrow} f(\tau)$ .

Обращая в (16) дробно-рациональные сомножители с помощью последнего соотношения, а сомножители с  $e^{-\sqrt{2}v}$  и т. п. с помощью приведенных выше табличных соотношений и применяя операцию свертки, для  $w|_{\xi=1}$  запишем

$$(17) \quad w|_{\xi=1} = \frac{Mvl}{2\sqrt{2}} [w_1 + w_2 + w_3 + w_4].$$

$$\text{Здесь } w_1 = \frac{2}{\sqrt{\pi}} \sqrt{\tau} - \frac{M}{2\sqrt{2}} [1 - \varphi_1(\tau)];$$

$$w_2 = - \int_0^\tau \left[ 1 - \varphi_1(\tau - z) - \frac{2\sqrt{2}}{M} \varphi_2(\tau - z) \right] \frac{1}{\sqrt{\pi z}} \left( \sin \frac{1}{z} + \cos \frac{1}{z} \right) dz;$$

$$w_3 = - \frac{2\sqrt{2}}{M} \int_0^\tau \varphi_2(\tau - z) \frac{1}{\sqrt{\pi z}} \exp\left(-\frac{2}{z}\right) dz;$$

$$w_4 = - \frac{2\sqrt{2}}{M} \int_0^\tau \varphi_2(\tau - z) \frac{1}{\sqrt{\pi z}} \sin\left(\frac{4}{z}\right) dz;$$

$$\varphi_1(\tau) = \exp\left[\left(\frac{2\sqrt{2}}{M}\right)^2 \tau\right] \left[ 1 - \Phi\left(\frac{2\sqrt{2}}{M} \sqrt{\tau}\right) \right];$$

$$\varphi_2(\tau) = \frac{2}{\sqrt{\pi}} \sqrt{\tau} - 2 \frac{2\sqrt{2}}{M} \tau \varphi_1(\tau);$$

$$\Phi(\tau) = \frac{2}{\sqrt{\pi}} \int_0^\tau e^{-z^2} dz \text{ — интеграл вероятности.}$$

Первое слагаемое в (17) представляет собой прогиб бесконечной балки при ударе массы, а остальные учитывают влияние опор на прогиб бал-

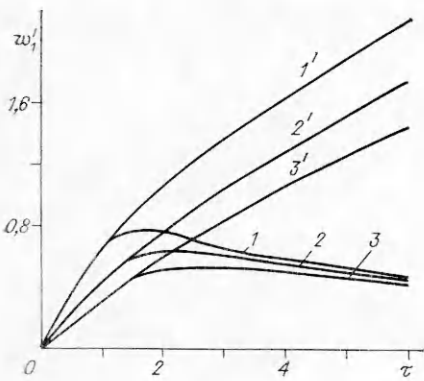


Рис. 2

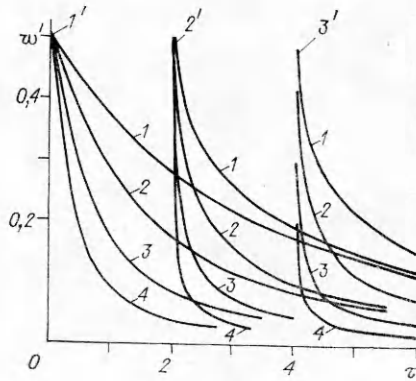


Рис. 3

ки. Как показали численные расчеты, основной вклад в суммарный прогиб наряду с  $w_1$  вносит составляющая  $w_2$ , а составляющая  $w_4$ , содержащая под интегралом быстро осциллирующую при  $z \rightarrow 0$  функцию  $\sin(4/z)$ , и составляющая  $w_3$ , содержащая под интегралом быстро затухающую при  $z \rightarrow 0$  функцию  $e^{-2/z}$ , в сумме не превосходят 10% составляющей  $w_2$ . В отброшенные составляющие (соответствующие  $k > 2$  в разложении по  $e^{-k\sqrt{2}v}$ ) будут входить интегралы от более быстро осциллирующих функций типа  $\sin(6/z)$  и более быстро затухающих типа  $e^{-4/z}$  и т. д. Поэтому можно утверждать, что вклад отброшенных составляющих будет еще меньше, чем вклад  $w_3$  и  $w_4$ , и предложенное асимптотическое решение может быть использовано, по крайней мере, при  $\tau \leqslant 6$ .

Кривые изменения безразмерного прогиба  $w_1' = 2\sqrt{2}w/Mvl$  для различных значений  $M$  приведены на рис. 2, где 1–3 — прогиб для  $M = 2; 4; 6$ , 1'–3' — то же для бесконечной балки.

*3. Действие сосредоточенной силы на бесконечную струну, заделанную в мембранию.* Пусть на струну с площадью поперечного сечения  $F$ , находящуюся под натяжением  $T$  и заделанную в мембранию толщиной  $h$  под натяжением  $T_1$ , действует сосредоточенная сила  $P_0 f(t)$ . Материал струны и мембранны для простоты считаем одинаковыми, а силы натяжения такими, что напряжения в струне и мемbrane равны, т. е.  $T_1/h = T/F$ . В безразмерных координатах  $\xi = \frac{x}{h}$ ,  $\eta = \frac{y}{h}$ ,  $\tau = \frac{\sqrt{T_1/\rho h}}{h} t$  движение такой системы описывается уравнением (ось  $\xi$  направлена вдоль струны)

$$(18) \quad \begin{aligned} \frac{\partial^2 w}{\partial \xi^2} - \frac{\partial^2 w}{\partial \eta^2} - \frac{\partial^2 w}{\partial \tau^2} + a^2 \left[ \frac{\partial^2 w}{\partial \xi^2} - \frac{\partial^2 w}{\partial \tau^2} \right] \delta(\eta) + \\ + \frac{P_0}{T_1} f(\tau) \delta(\xi) \delta(\eta) = 0, \quad a^2 = \frac{T}{T_1 h} = \frac{F}{h^2}. \end{aligned}$$

Начальные и граничные условия (при  $\xi = \pm\infty$ ,  $\eta = \pm\infty$ ) нулевые.

Применяя к (18) двусторонние преобразования Фурье по  $\xi$  и  $\eta$  и преобразование Лапласа по  $\tau$ , для изображения  $w_{pqv}$  получим равенство  $(p^2 + q^2 + v^2) w_{pqv} + \frac{1}{\sqrt{2}\pi} a^2 (p^2 + v^2) w_{pv} |_{\eta=0} = \frac{1}{2\pi} \frac{P_0}{T_1} f_v$  ( $f_v$  — изображение  $f(\tau)$ ), откуда  $w_{pqv} = \frac{1}{\sqrt{2}\pi} \left[ \frac{1}{\sqrt{2}\pi} \frac{P_0}{T_1} f_v - a^2 (p^2 + v^2) w_{pv} |_{\eta=0} \right] \frac{1}{p^2 + q^2 + v^2}$ . Обращая последнее выражение по  $q$  с использованием известного значения интеграла [3]

$$I = \int_0^\infty \frac{dq}{q^2 + a^2} = \frac{\pi}{2} \frac{1}{a}$$

и разрешая полученное равенство относительно  $w_{pv}|_{\eta=0}$ , имеем

$$(19) \quad w_{pv}|_{\eta=0} = \frac{P_0}{2T} \frac{1}{\sqrt{2\pi}} \frac{f_v}{\sqrt{p^2 + v^2} \left[ 1 + \frac{a^2}{2} \sqrt{p^2 + v^2} \right]}.$$

Для обращения изображения (19) воспользуемся соответствием, следующим из теоремы Эфферса:

$$\frac{F(\sqrt{v^2 + p^2})}{\sqrt{v^2 + p^2}} \stackrel{\rightarrow}{=} \int_0^\tau J_0(p \sqrt{\tau^2 - z^2}) f(z) dz,$$

где  $F(v) \stackrel{\rightarrow}{=} f(\tau)$ ;  $J_0(\dots)$  — функция Бесселя первого рода индекса 0. Обращая (19) по Фурье и Лапласу с использованием последнего соответствия, для  $f_v = 1$  ( $f(\tau) = \delta(\tau)$ ) находим

$$w(\xi, \tau)|_{\eta=0} = \frac{P_0 h}{T} \frac{1}{\pi} \int_0^\tau e^{-\frac{2}{a^2} z} \int_0^\infty J_0(p \sqrt{\tau^2 - z^2}) \cos p\xi dp.$$

Так как [3, 6]

$$\int_0^\infty J_0(p \sqrt{\tau^2 - z^2}) \cos p\xi dp = \begin{cases} \frac{1}{\sqrt{\tau^2 - \xi^2 - z^2}}, & z^2 < \tau^2 - \xi^2, \\ 0, & z^2 > \tau^2 - \xi^2, \end{cases}$$

то

$$w(\xi, \tau)|_{\eta=0} = \frac{P_0 h}{T} \frac{1}{\pi} \int_0^{\sqrt{\tau^2 - \xi^2}} \frac{e^{-\frac{2}{a^2} z}}{\sqrt{\tau^2 - \xi^2 - z^2}} dz = \frac{P_0 h}{T} \frac{1}{\pi} \int_0^{\pi/2} e^{-\frac{2}{a^2} \sqrt{\tau^2 - \xi^2} \sin \varphi} d\varphi$$

$$(z = \sqrt{\tau^2 - \xi^2} y, y = \sin \varphi).$$

Кривые изменения во времени безразмерного прогиба  $w' = \frac{T}{P_0 h} w(\xi, \tau)|_{\eta=0}$  для различных  $\xi$  и  $a^2$  представлены на рис. 3, где  $I'-3'$  для  $\xi = 0; 2; 4$ ,  $I-4$  для  $a^2 = 4; 2; 1; 0.5$ . Видно, что при фиксированном значении отношения  $T/h$  с уменьшением параметра  $a^2$  спад по времени прогиба становится более крутым, при  $a^2 \rightarrow \infty$  характер изменения во времени прогиба приближается к изменению прогиба для изолированной струны.

#### ЛИТЕРАТУРА

1. Кудрина Т. Д., Мамай В. И. Исследование взаимодействия конструкций с препятствиями на основе модельного подхода // Статика и динамика тонкостенных конструкций.— М.: Изд-во МГУ, 1980.
2. Слепян Л. И. Нестационарные упругие волны.— Л.: Судостроение, 1972.
3. Прудников А. П., Брычков Ю. А., Маричев О. И. Интегралы и ряды. Элементарные функции.— М.: Наука, 1981.
4. Дёч Г. Руководство к практическому применению преобразования Лапласа.— М.: ГИФМЛ, 1960.
5. Диткин В. А., Прудников А. П. Справочник по операционному исчислению.— М.: Высш. шк., 1965.
6. Рыжик И. М., Градштейн И. С. Таблицы интегралов, сумм, рядов и производствений.— М.: ГИФМЛ, 1963.

Поступила 26/VI 1986 г.